

التنبؤ الاقتصادي باستعمال نماذج ARIMA حالة أسعار الصرف -الجزائر- (2012-1970)

د. بختي فريد *

ملخص:

إن عملية الإسقاط المستقبلي هي طريقة من الطرق العلمية لإنتاج القيم المستقبلية ومعرفة التطورات القادمة لمتغير اقتصادي، وهذا بالاعتماد على المتغيرات المستقلة أو بتحميل قيم المتغيرات المسجلة عبر الزمن أي السلاسل الزمنية. وطرق التنبؤ متعددة ومتنوعة ومن بين هذه الطرق نجد طريقة بوكس-جينكينز، وهذه الطريقة جد هامة حيث أنها وضعت خصيصا لمعالجة السلاسل الزمنية المعقدة، وبصفة عامة في الحالات التي يكون فيها النموذج الابتدائي غير مطروح مسبقا. حيث تعتبر هذه الطريقة جد غنية ودقيقة من الناحية المنهجية وهي تعميم لتقنيات المتوسطة المتحركة. ومبدأ هذه الطريقة يعتمد على فكرة أن معظم السلاسل الزمنية يمكن اعتبارها متوسطات عرضية (Stochastique)، ويمكن وصفها استنادا إلى نماذج مرجعية.

غير أنه يفترض في السلسلة الزمنية بأنها تحدث بنموذج عرضي (-Processus Stochastique) إلى جانب فعالية هاته الطريقة ودقة نتائجها نجدها تشترط: سلسلة زمنية طويلة تحتوي على الأقل 50 مشاهدة. إلى جانب خبرة ومهارة الباحث فيما يخص عملية الكشف عن النموذج الدقيق جدا.

الاشكالية: ما مدى فعالية استخدام نماذج المتوسطات المتحركة-الانحدار الذاتي المتكاملة للتنبؤ بالظواهر الاقتصادية؟

الكلمات المفتاحية: طرق التنبؤ، السلاسل الزمنية، الاستقرارية، طريقة بوكس-جينكينز، نماذج ARIMA.

Summary:

Future projection is a scientific method to produce future values and knows the coming developments of economic variable relying on free variables or analyzing values of recorded variable over time or « time series ». Forecasting methods are varied and multiple

* أستاذ محاضر - أ - جامعة آكلي محمد أولحاج - البويرة.

as «Box-Jenkins» method which is very important and developed to deal specially with «complicated time series». Generally in the case where «the primary model» is not exposed before, this method «methodologically» is rich and exact in the «moving average-technics» and the principle of this operation relied on the idea that the majority of «time series» can be considered «as medium Transverse» and can be developed according to reference models, but presumably it happens in stochastic process. Besides effectiveness and exact results it requires long time series containing 50 views in addition to skilled and practiced searcher in detecting the exact models.

Problematic: How effective is the use of moving average and integrated autoregressive for economic forecast?

Keywords: forecast methods, time series, Box-Jenkins method, ARIMA models.

مقدمة:

يعد موضوع دراسة وتحليل المتسلسلات الزمنية من المواضيع الإحصائية المهمة، والتي تتناول سلوك الظواهر، وتفسرها عبر فترات محددة (سنوية، سداسية، ثلاثية، ... إلخ). ويمكن عرض أهداف تحليل السلاسل الزمنية في الحصول على وصف دقيق للملاح الخاصة للعملية التي تتولد منها السلسلة الزمنية، وبناء نموذج لتفسير سلوكها واستخدام النتائج للتنبؤ بسلوك السلسلة في المستقبل، إضافة إلى التحكم في العملية التي تتولد منها السلسلة الزمنية بفحص ما يمكن حدوثه عند تغيير بعض معاملات النموذج¹. ولتحقيق ذلك يتطلب الأمر دراسة تحليلية شاملة لنماذج السلاسل الزمنية بالاعتماد على الأساليب الإحصائية والرياضية.

وفي ظل هذا الطرح يمكننا طرح إشكالية هذا البحث والتي تتمثل في: ما مدى فعالية استخدام نماذج المتوسطات المتحركة-الانحدار الذاتي المتكاملة للتنبؤ بالظواهر الاقتصادية؟

والفرضية الأساسية التي تنطلق منها دراستنا هذه أن طريقة بوكس-جينكينز تمكننا من التنبؤ بأسعار الصرف وذلك على المدى القصير.

المطلب الأول: مفاهيم عامة وأساسية حول السلاسل الزمنية.

¹ عبيد محمود محسن الزويبي: "طريقة مقترحة لتشخيص نماذج السلاسل الزمنية"، المؤتمر الإحصائي العربي 1، الأردن، 12-13- نوفمبر 2007.

1-تعريف السلسلة الزمنية: يمكن تعريفها بأنها "متتالية المشاهدات المرقمة والمركبة عبر الزمن، حيث نرسم عادة لمتغير الدراسة بـ: (X) وللزمن بـ (t)، وهذه المشاهدات المتغيرة تدعى سلسلة زمنية"¹. أو هي عبارة عن مجموعة من القياسات المأخوذة من متغير واحد، أو عدد من المتغيرات مرتبة وفقا لزمنا حدوثها أي هي البيانات الإحصائية التي تجمع أو تسجل عن ظاهرة ما لفترات زمنية متتابعة محددة ومتساوية، ويمكن أن تكون X_1, X_2, \dots, X_T أو سلسلة الزمن $\{X_t\}$ في الشكل التالي².

2-الصددمات العشوائية "Bruit Blanc": هي عبارة عن متتالية عشوائية مستقلة عن بعضها البعض، أي غير مرتبطة ولها نفس التباين، ونرمز لها بالرمز (ε_t) ، وتسمى أيضا بالوشرة البيضاء ويمكن تلخيص خصائصها فيما يلي:

$$\forall t : *E(\varepsilon_t) = 0 *V(\varepsilon_t) = \delta^2 *COV(\varepsilon_t, \varepsilon_{t-k}) = 0, \quad \forall k \in Z, \quad \varepsilon_t \sim BB(0, \delta^2)$$

3-السياق المستقر "Processus Stationnaire": يمكن القول عن السياق (X_t) أنه سياق مستقر إذا كان تباينه ومتوسطه مستقل عن الزمن، ويعبر عنها رياضيا كما يلي:

$$*E(X_t) = \mu *V(X_t) < \infty *COV(X_t, X_{t-h}) = V(h), \forall t, h \in T$$

4-دالة الارتباط الذاتية "FAC" (Fonction d'autocorrélation): تسمح

هذه الدالة بتوضيح وقياس الارتباط الزمني بين المتغير والقيم $(X_{t-2}, X_{t-1}, \dots)$ ، أي في فترات مختلفة ويرمز لها بالرمز $\rho(h)$. حيث:

$$\rho(h) = \frac{COV(X_t, X_{t-h})}{\sqrt{V(X_t) \cdot V(X_{t-h})}} = \frac{\gamma(h)}{\sqrt{\gamma(0) \cdot \gamma(0)}} = \frac{\gamma(h)}{\gamma(0)}$$

وتمثيلها البياني يدعى بـ: Correlogramme.

5-دالة الارتباط الذاتي الجزئي (FACP):

"Fonction d'autocorrélation Partielle": تسمح هذه الدالة بحساب معاملات الارتباط الذاتي الجزئي بين المشاهدات في فترات مختلفة، كما تسمح أيضا من تشكيل نماذج الانحدار الذاتي. والتمثيل البياني لهذه الدالة يسمى بـ: "Corelogramme Partielle"، ويمكن أن نعرف هذه الدالة بالعلاقة الآتية:

¹G. Gourigoux, Amonfort « Série Temporelles Et Modèles Dynamique » 2^{ème} Ed ECONOMICA 1995, Paris, P 7.

² J. H. Cockrane : « Time Series For Macroeconomic and Finance » Graduate School of BUSINESS, University Of Chicago, 1997, P 08.

$$r(h) = \frac{COV(X_t - X_t, X_{t-h} - X_{t-h})}{\sum_{t=1}^h (X_t - \bar{X})^2}, h \geq 0$$

حيث:

(X_t^*) : الانحدار الخطي لـ (X_t) على: $X_{t-1}, X_{t-2}, \dots, X_{t-h}$

(X_{t-h}^*) : الانحدار الخطي لـ (X_{t-h}) على: $X_{t-1}, X_{t-2}, \dots, X_{t-h+1}$

مع: $\varepsilon_t \sim N(0, \delta^2)$

6- دالة التباين المشترك الذاتي: "Fonction D'auto covariance" يمكن

تعريف دالة التباين المشترك الذاتي والتي يرمز لها بالرمز $\gamma(h)$ أو بالرمز $\gamma(t,s)$ رياضيا

كما يلي: $\gamma(t,s) = COV(X_t, X_s)$

$$t,s \in Z^2 \quad \gamma(t,s) = E[(X_t - M_t)(X_s - M_s)]$$

حيث: $M_t = E(X_t), M_s = E(X_s)$

المطلب الثاني: النماذج الخطية للسلسلة الزمنية.

1- نماذج الانحدار الذاتي من الدرجة P : $AR(P)$: يطلق على كل نموذج غير مستقر

نموذج انحدار ذاتي من الدرجة (P) ويكتب اختصارا $AR(P)$ ، ويمكن التعبير عنه

بالعلاقة التالية:

$$X_t = \alpha + \phi_1 X_{t-1} + \phi_2 X_{t-2} + \dots + \phi_p X_{t-p} + \varepsilon_t$$

حيث:

α : عدد ثابت، ε_t : صدمات عشوائية، ϕ_i : معاملات حقيقية $\forall i = 1, 2, \dots, p$

نستطيع كتابة النموذج بشكل آخر وذلك باستعمال معامل التأخير حيث تصبح

كالآتي:

$$\phi_p(B)X_t = \varepsilon_t \quad \text{أي: } (1 - \phi_1 B - \phi_2 B^2 - \dots - \phi_p B^p)X_t = \alpha + \varepsilon_t$$

مع:

$\phi_p(B)$: كثير حدود مميز للنموذج X_t .

- النموذج X_t يكون مستقرا إذا كانت جذور $\phi_p(B) \neq 1$

1-1- دالة الارتباط الذاتي FAC بالنسبة لـ $AR(P)$: تتغير معاملات هذه الدالة

باتجاه واحد، حيث أنها تنطلق من الواحد وتبقى في تناقص مستمر، غير أنها لا تنعدم

بسرعة في حالة الاستقرار مما يصعب تحديد درجة الاستقرار ودرجة النموذج وهي

تساعد على:

-الكشف على مدى وجود ارتباط بين المشاهدات من خلال حساب معاملات

الارتباط الذاتي بين هذه المشاهدات في فترات مختلفة.

-تحديد مدى استقرارية السلسلة الزمنية ويتجلى ذلك في تلاشي المعاملات بسرعة قبل الدرجة h والتي تعادل $N/4$ مشاهدة.

1-2-دالة الارتباط الذاتي الجزئي FACP بالنسبة لـ $AR(p)$: في الحالة التي يصعب فيها معرفة النموذج $AR(p)$ بواسطة FAC نستعمل الدالة FACP وذلك من خلال معاملات التي تنعدم بعد الدرجة p والتي تتبع قانون التوزيع الطبيعي ولهذا يجب التأكد من انعدام هذه المعاملات عندما تكون $(h > p)$.

2- نماذج المتوسطات المتحركة من الدرجة q : $MA(q)$: نقول عن (X_t) أنه متوسط متحرك من الدرجة q إذا كان يكتب على النحو التالي:

$$X_t = \alpha + \varepsilon_t + \theta_1 \varepsilon_{t-1} + \dots + \theta_q \varepsilon_{t-q}$$

حيث: θ_i : معاملات حقيقية ($\theta_i \in R$)، ε_t : صدمات عشوائية،
 α : عدد ثابت.

1-2-دالة الارتباط الذاتي FAC بالنسبة لـ $MA(q)$: تتميز معاملات دالة الارتباط الذاتي بالنسبة لـ $MA(q)$ بانعدامها مباشرة بعد الدرجة (q) فإذا كان النموذج $MA(1)$ فإن $\theta_2 = 0$ كما أنها تتبع قانون التوزيع الطبيعي ذو التباين $(1/n) \sum \delta_i^2$ مهما تكن $q > t$.

2-2-دالة الارتباط الجزئي FACP بالنسبة لـ $MA(q)$: تعد دالة الارتباط الجزئية لنماذج المتوسطات المتحركة رتيبة تماما ومتناقصة بقوة لاتخاذها الجانب التنازلي.

نماذج $MA(q)$ مستقرة دوما لكونها عبارة عن ترتيبه خطية للصدمات العشوائية، تكون نماذج $MA(q)$ انعكاسية (Inversible) إذا كان مجموع جذور $\theta(B)$ أصغر من الواحد. حيث يمكننا كتابة X_t على شكل كثير حدود مميز وذلك بإدخال عامل التأخر

$$X_t = \theta_p(B) \varepsilon_t \text{ على النحو التالي:}$$

3- نماذج مختلطة من الدرجة p, q : $ARMA(p, q)$: نقول عن (X_t) أنه سياق مختلط أو منحدر ذاتيا، متوسط متحرك من الدرجة p, q إذا كان من الشكل:

$$X_t - \phi_1 X_{t-1} - \phi_2 X_{t-2} - \dots - \phi_p X_{t-p} = \varepsilon_t - \theta_1 \varepsilon_{t-1} - \theta_2 \varepsilon_{t-2} - \dots - \theta_q \varepsilon_{t-q}$$

حيث: ϕ_i : معاملات حقيقية، $i = 1, 2, \dots, p$

$$\theta_j$$
: معاملات حقيقية، $j = 1, 2, \dots, q$ ، ε_t : صدمات عشوائية.

وبإدخال عامل التأخر (B) يمكن كتابة المعادلة السابقة كما يلي:

$$(1 - \phi_1 B - \phi_2 B^2 - \dots - \phi_p B^p) X_t = (1 - \theta_1 B - \theta_2 B^2 - \dots - \theta_q B^q) \varepsilon_t$$

واختصارا نكتب: $\phi_p(B) = \theta_q(B) \varepsilon_t$. ويكون النموذج $ARMA(p, q)$ مستقرا

إذا كان $AR(p)$ مستقر.

4- نماذج مختلطة مركبة من الدرجة $p.d.q$: $ARIMA(p,d,q)$: تسمى نماذج الانحدار المتوسط المتحرك المتكامل ويرمز لها بالرمز $ARIMA(p,d,q)$ ، وهو من النماذج المتجانسة غير المستقرة أو المختلطة المركبة من الدرجة d . ويكتب كما يلي:

$$\phi_p(B)(1-B)X_t = \phi(B)\varepsilon_t$$

حيث d : هي درجة التفاضل. ومنه تكون السلسلة ΔX_t مستقرة.

المطلب الثالث: منهجية طريقة بوكس-جينكينز.

إن منهجية طريقة بوكس-جينكينز في تحليل السلسلة الزمنية توضيح الإجابة الإحصائية المتعلقة باختيار النموذج الأفضل والأمثل للسلسلة الزمنية المدروسة، وطريقة بوكس-جينكينز تسمح بالحصول على التنبؤ الأكثر دقة. تعتبر البنية التحتية لهذه المنهجية معقدة، غير أنها ضرورية لاستعمال أحسن البرامج حتى تكون لنا القدرة على اختيار النموذج الموافق للمعطيات¹. ولهذا بوكس وجينكينز اقترحا منهجية نظامية من أجل تشخيص، وتقدير، اختبار النماذج وأخيرا القيام بعملية التنبؤ. هذه المراحل يمكن توضيحها كالتالي:

1- مرحلة التعرف على النموذج "Identification": هذه المرحلة يتم فيها التعرف وتشخيص النموذج الموافق لدراسة السلسلة وتحديد درجات التأخير (p,q) للمعادلة:

$$(1 - \phi_1 B - \dots - \phi_p B^p) X_t = (1 - \theta_1 B - \dots - \theta_q B^q) \varepsilon_t$$

من أجل تحديد هذا نقوم باستعمال "Partielle Correlogramme" و "Correlogramme"، تحت الفرضية أن $\{X_t\}$ عبارة عن تحقيق لنموذج مستقر الذي أرجع مستقرا عن طريق عدة تحويلات متخصصة.

2- مرحلة التعرف على النموذج: تحديد واستخراج p, q يعتمد على دوال الارتباط الذاتي البسيطة والجزئية للسلسلة المستقرة. وهذا بمشاهدة الأعمدة الخارجة عن مجال الثقة.

3- مرحلة تقدير المعالم: إذا اقتربنا أن دراسة للسلسلة الأصلية (X_1, X_2, \dots, X_n) تقودنا إلى سلسلة الفروقات $W = (W_1, W_2, \dots, W_n)$ نعتبر أنها نتجت من النموذج $ARMA(p,q)$.

$$W_t = C + \phi_{t-1} + \dots + \phi_p W_{p-1} + \varepsilon_t - \theta_1 \varepsilon_{t-1} - \dots - \theta_q \varepsilon_{t-q}$$

حيث أن:

¹ Michel Tenenhaus: "Méthodes Statistique En Gestion", DUNOD, France 1994, P 285

C : تمثيلية ثابتة مرتبة بالوسط الحسابي لـ W_i كما يلي:

$$C = (1 - \phi_1 - \dots - \phi_p) \mu$$

نفترض أن ε_i يتبع قانون التوزيع الطبيعي $N(0, \sigma^2)$.

الهدف من هذا هو تقدير المعالم

المعروفة والتي تعتمد على مبدأ تصغير مجموع مربعات البواقي حيث أننا سنختار شعاع MCO المعالم الذي يضمن لنا هذا التصغير أي: $\mu, \theta = (\theta_1, \dots, \theta_q), \phi = (\phi_1, \dots, \phi_p)$ بطريقة المربعات الصغرى العادية

$$MinS(\varphi, \theta) = \sum e_i^2$$

4-مرحلة الاختبار: الهدف من هذه المرحلة هو التحقق من مدى توافق النموذج $ARIMA(p, d, q)$ المختار في مرحلة التعرف والمقدر في مرحلة التقدير مع المعطيات المتوفرة ومدى صحته، والاختبارات التي ستطبق على النموذج هي على ثلاثة أشكال:

1-4-دراسة معالم النماذج: حساب الإحصائية كخطوة أولى من أجل دراسة المعالم بعد تقديرها حيث أن B_j تمثل المعالم المقدرة ثم نقوم بمقارنة الإحصائية T مع العدد 2. فإذا كانت $|t_j| \geq 2$ عند المستوى المعنوي $\alpha = 5\%$ نقول أن المعالم B_j معنويًا تختلف عن الصفر.

2-4-مقارنة النماذج: نوعية أي نموذج يحتوي على K معلم مكون انطلاقًا من سلسلة مستقرة ذات الطول n يمكن قياسها بمساعدة معيارين:

- معيار Akaike: (AIC: Akaike Information Criterion).

- معيار Schwartz: (BIC: Baysien Information Criterion).

مع العلم أن كل من المعيارين AIC و BIC يسمح بقياس قيمة النموذج كما يساعد في اختيار النموذج الذي يتميز بأصغر انحراف للبواقي.

3-4-دراسة البواقي: إن البواقي e_i معرفة كيلي:

$$\hat{\delta}_t = \hat{\theta}(B)^{-1} \hat{\phi}(B)(1-B)^d X_t = X_t - \hat{X}_{t-1}$$

حيث أن: \hat{X}_{t-1} تمثل \hat{X}_t تنبؤ محققة في اللحظة $t-1$ في النموذج المقدر.

$$\varepsilon_t = \theta(B)^{-1} \varphi(B)(1-B)^d X_t$$

ε_t متقاربة جدًا، كما يمكننا التأكد من ε_t تشكل صدمات عشوائية عن طريق دراسة الارتباط الذاتي للبواقي $\rho_j(e_t)$.

- الاختبارات العامة على الارتباطات الذاتية للبواقي ε_t : يمكن أن نذكر اختبارين يسمحان باختبار النموذج المدروس وهما يستعملان بكثرة في الجانب التطبيقي، وهما:

أ-اخته بار "Box-Pierce" أو اخته بار "Portmanteau": إذا كان ε_t شكل صدمات عشوائية فإن الإحصائية $Q = n \sum p_j^2(\hat{\delta})$ تتبع تقريبا توزيع Khi-deux بدرجة حرية $(j-r)$ ، حيث r يمثل علاقة المعالم (ϕ, θ) للنموذج، فإذا كانت $Q > \chi_{0.95}^2(J-R)$ ، فإننا نرفض فرضية انعدام المعالم، أي أن ε_t تمثل صدمات عشوائية.

ب-اختبار "Ljung-Box": نعرف هذه الإحصائية كما يلي:

$$H_0 : r_1 = r_2 = r_3 = \dots = r_j = 0$$

إذا كانت ε_t تشكل صدمات عشوائية فإن الإحصائية Q تتبع تقريبا قانون Khi-Deux بدرجة حرية $(j-r)$ حيث أن قيمة الاختبار لـ Ljung-Box أحسن مما عند Box-Pierce¹.

5-عملية التنبؤ: بعد الحصول على النموذج النهائي من خلال المراحل الثلاث السابقة نمر إلى آخر عملية والتي تتمثل في حساب التنبؤ وتشكيل مجال الثقة التنبؤية، ليكن X_t نموذج مستقر يمكن كتابته على الشكل التالي:

$$\phi_p(B)x_t = \alpha + \theta_q(B)\varepsilon_t$$

حيث: ε_t تمثل صدمات عشوائية (Bruit Blanc) ذات التباين δ^2 .

ولأجل التنبؤ بقيم X_{t-h} بدلالة المشاهدات المسجلة قبل اللحظة t ، (X_t, X_{t-1}, \dots) بدلالة $(\varepsilon_t, \varepsilon_{t-1}, \dots)$ ، فإننا نطلق من اللحظة المعرفة t ونحسب القيم التنبؤية على فترة زمنية مستقبلية h وبالتالي يمكن كتابة X_{t-h} كما يلي:

$$X_{t+h} = \varepsilon_{t+h} + \Psi_1 \varepsilon_{t+h-1} + \dots + \Psi_{h-1} \varepsilon_{t+1} + \Psi_h \varepsilon_t + \Psi_{h+1} \varepsilon_{t-1} \dots$$

$$\hat{X}_t(h) = \psi_h \varepsilon_t + \psi_{h+1} \varepsilon_{t-1} + \dots$$

أما الخطأ بالتنبؤ فيحسب بالعلاقة التالية:

$$e_t(h) = X_{t+h} - \hat{X}_t(h) = \varepsilon_{t+h} + \psi_1 \varepsilon_{t+h-1} + \dots + \psi_{h-1} \varepsilon_{t+1}$$

$$\hat{e}_t(h) = \sum_{i=0}^{h-1} \psi_i \varepsilon_{t+h-i}$$

وهكذا يمكن حساب تباين خطأ التنبؤ $\hat{e}_t(h)$ بسهولة عن طريق العلاقة:

$$VAR(\hat{e}_t(h)) = \delta^2 (1 + \psi_1^2 + \dots + \psi_{h-1}^2)$$

أما إذا كان لدينا النموذج X_t فإننا يمكن أن نحسب التنبؤ انطلاقا من علاقة التعريف التالية:

$$V^d \phi_p(B) V^d \phi_p(B^S) X_t = \theta_q(B) \theta_q(B^S) \varepsilon_t$$

¹ Michel Tenenhaus, Opcit, PP 307,309.

علما أن تباين خطأ التنبؤ لا يتغير أي أن:

$$VAR(e_t(h)) = \delta^2 (1 + \psi_1^2 + \dots + \psi_{h-1}^2) = \delta^2 \sum_{i=0}^{h-1} \psi_i^2$$

حيث أن:

$$\psi(B) = V^d \phi_p(B)^{-1} V_s^d \phi_p(B^s)^{-1} \theta_q(B) \theta_q(B^s)$$

الجانب التطبيقي

1-دراسة أولية للسلسلة محل الدراسة: السلسلة محل الدراسة تمثل في تغيرات أسعار الصرف (الدينار الجزائري بالنسبة للأورو) خلال الفترة 1970-2012.

السنوات	سعر الصرف (ER)	السنوات	سعر الصرف (ER)
1970	4,9371	1994	35,0552
1971	4,913	1995	47,6489
1972	4,481	1996	54,7472
1973	3,962	1997	57,6757
1974	4,181	1998	58,7351
1975	3,949	1999	66,5722
1976	4,164	2000	75,2569
1977	4,147	2001	77,26
1978	3,9659	2002	79,6829
1979	3,8531	2003	77,3947
1980	3,8375	2004	72,0603
1981	4,3158	2005	73,3596
1982	4,5921	2006	72,6466
1983	4,7885	2007	69,3757
1984	4,9835	2008	64,5828
1985	5,0279	2009	72.646
1986	4,7023	2010	74.385
1987	4,8375	2011	72,8537

1988	5,9144	2012	77,5519
1989	7,6084		
1990	8,9648		
1991	18,4672		
1992	21,8717		
1993	23,3503		

المصدر: الديوان الوطني للإحصائيات.

2- الاستقرارية: من خلال ملاحظتنا لـ "Correlogramme" لسلسلة أسعار الصرف (ER)، وسلسلة الفروقات من الدرجة الأولى لأسعار الصرف (DER)، تظهر لنا دوال الارتباط الذاتي الجزئية (FPAC) ودوال الارتباط الذاتي البسيطة (FAC) تخرج عن مجال الثقة حتى لتأخيرات معتبرة، وبالتالي هاتين السلسلتين غير مستقرتين، وهذا ما ثبته أيضا المنحنيات البيانية لهما (أنظر الملحق رقم (1))، في حين أن الفرق من الدرجة الثانية لسلسلة أسعار الصرف (DDER) مستقر، وحتى نتأكد من فهم استراتيجية تطبيق اختبار ديكي فولار البسيط أو المطور نقوم بتطبيقها على (DDER):

في بادئ الأمر نقوم بتحديد درجة التأخير "P" من خلال "Correlogramme" وذلك للفروقات من الدرجة الثالثة، بالاستعانة ببرامج "Eviews" وجدنا أن أعظم تأخير هو: P=2 (أنظر الملحق رقم (1))، لكن بعد إجراء الاختبار على التأخير: (P=2) عند مستوى معنوية 5%، استنتجنا أن هذا التأخير ليس لها دلالة إحصائية، أما التأخير (P=1) له دلالة إحصائية عند مستوى معنوية 5% لأن (Prob=0.0007 < 0.05) وهذا ما يبينه الملحق رقم (2). إذن نقوم بتطبيق اختبار ديكي فولار المطور وعلى النحو التالي:

$$D(ER)_t = -1.89D(ER)_{t-1} + 0.94D(ER)_{t-2} - 0.009D(ER)_{t-3} + 0.009$$

n = 39 (-8.27) (3.70) (-0.17) (0.26)

اختبار وجود مركبة الاتجاه العام (b) : t - statistic (.) : $R^2 = 71.4\%$

$$H_0 : b = 0 / H_1 : b \neq 0$$

$$t_{calulé} = \frac{\hat{b}}{\delta_b} = \frac{-0.009}{0.052} = -0.17 < t_{tabulé} = 2.83$$

ومنه نقبل فرضية العدم، (أي فرضية سيرورة TS مرفوضة) وذلك عند مستوى معنوية 5%.

اختبار وجود الجذر الأحادي:

$$H_0 : \phi_1 = 0 / H_1 : \phi_1 < 0$$

$$t_{\phi_1} = \frac{-1.89}{0.22} = -8.27 < t_{tabulé} = -3.52$$

ومنه نقبل H_1 أي عدم وجود جذر أحادي وذلك عند مستوى معنوية 5%.

$$D(DDER)_t = -1.88(DDER)_{t-1} + 0.54D(DDER)_{t-1} + 0.74$$

$$n = 39 \quad (-8.38) \quad (3.75) \quad (0.25)$$

نقوم باختبار مركبة الدورات الاقتصادية (الاحتمالية): $t : t_{tabulé}$

شكل الاختبار هو:

$$H_0 : c = 0 / H_1 : c \neq 0$$

$$t_{calculé} = \frac{\hat{c}}{\delta} = 0.25 < t_{tabulé} = 2.585$$

ومنه نقبل الفرضية H_0 وذلك عند مستوى معنوية 5%، أما نتيجة اختبار الجذر الأحادي هي: $t_{\phi_1} = -8.38 < -2.93$ ، ومنه نقبل الفرضية البديلة (H_1)، وذلك بمعنوية.

$$D(ER)_t = -1.88(DER)_{t-1} + 0.34D(DDER)_{t-1}$$

$$n = 39 \quad (-8.49) \quad (3.79)$$

نتيجة اختبار الجذر الأحادي هي: $t_{\phi_1} = -8.49 < -1.94$ ، ومنه لا يوجد جذر أحادي في هذا النموذج، ومنه السلسلة $DDER$ مستقرة، أي:

$$D(DDER)_t = \phi_1(DDER)_t + \phi_1 D(DDER)_{t-1} + \mu_t$$

3- التعرف على النماذج: بعد تأكدنا من شرط الاستقرارية نقوم بتحديد التأخيرات p و q لمختل في نماذج الممكنة من خلال قراءة التمثيل البياني ($Correlogramme$) للسلسلة $(DDER)$ وهذا من خلال دوال الارتباط الذاتية البسيطة والجزئية وبمشاهدة الأعمدة الخارجة عن مجال الثقة (أنظر الملحق رقم (1)).

- بالنسبة للانحدار الذاتي يمكن مشاهدة التأخير $k=2$ خارج عن مجال الثقة.

- بالنسبة للمتوسطات المتحركة يمكن مشاهدة التأخير $k=2$ خارج عن مجال الثقة.

ومنه نميز الدوال التالية: $ARMA(2,2); AR(2); MA(2)$

ويمكن كتابتها في شكل $DDER_t = \theta_1 \varepsilon_t + \theta_2 \varepsilon_{t-1} + \theta_3 \varepsilon_{t-2}$

$$MA(2): DDER_t = 0.47\varepsilon_t + \phi DDER_{t-2}$$

$$AR(2): DDER_t = 0.47\varepsilon_t + \phi DDER_{t-2} = \varepsilon_t + \theta \varepsilon_{t-2}$$

$$ARMA(2,2): DDER_t + 0.36DDER_{t-2} = 0.12\varepsilon_{t-2}$$

5- اختيار النموذج الملائم: (أنظر الملحق رقم (1-5)، (2-5) و(3-5))

النموذج	المعايير	T_c	T_t	Akaike	Schwarz
النموذج الأول MA(2)		13.54	1.96	5.50	5.54
النموذج الثاني AR(2)		3.19	1.96	5.54	5.58
النموذج الثالث ARMA(2,2)		$t_{\hat{\phi}} = 2.34$	1.96	5.58	5.67
		$t_{\hat{\theta}} = 64.29$	1.96		

المصدر: من إعداد الباحث بالاعتماد على مخرجات Eviews 7

$$MA(2) : DDER_t = -0.47\varepsilon_{t-2}$$

بعد التعرف على النموذج الذي يعتبر أكثر انسجاما مع المشاهدات وأكثر شرحا لتطورها مع الزمن، نأتي إلى المرحلة الموالية من مراحل بوكس-جينكينز وهي اختبار البواقي.

6- صلاحية النموذج:

6-1- الاختبارات العارضة: من خلال ملاحظة التمثيل البياني للبواقي لا يبيّن بواقي (Correlogrammes Residues) (أنظر الملحق رقم (1-6)). يظهر لنا أن كل من معاملات الارتباط "FAC" و"FACP" داخل مجال الثقة واحصائية "Q" لها احتمالات أكبر من المعنوية ($\alpha = 0.05$) ومنه البواقي (ε_t) تمثل صدمات عشوائية (Bruit Blanc).

6-2- اختبارات التوزيع الطبيعي: يبين توزيع (ε_t) والقيم المحسوبة لكل من الإحصائيات (Jaque-Bera)، (Skewness)، (Kurtosis)، معطاة في المدرج التكراري للبواقي (أنظر الملحق رقم (2-6)).

من المدرج التكراري للبواقي تحصلنا على النتائج التالية وهذا فيما يخص معامل التفرطح ومعامل التناظر:

$$\begin{cases} s = 0.58 \\ k = 4.53 \end{cases} \text{ حيث:}$$

$$V_1 = \left| \frac{s-0}{\sqrt{\frac{6}{n}}} \right| = \left| \frac{0.58}{\sqrt{0.15353}} \right| = \left| \frac{0.58}{0.39253} \right| = 1.47, \quad V_1 < 2.021$$

$$V_2 = \left| \frac{k-3}{\sqrt{\frac{24}{n}}} \right| = \left| \frac{0.39253}{\sqrt{0.615}} \right| = \left| \frac{0.39253}{0.784} \right| = 1.95, \quad V_2 < 2.021$$

$$J - B = 6.04 < \chi_{38}^2 = 53.38$$

من خلال هذه النتائج نقبل فرضية العدم، وبالتالي ε_t عبارة عن شوشرة بيضاء ذات توزيع طبيعي. كما أن: $J - B = 6.04 < \chi_{38}^2 = 53.38$ ومنه نقبل فرضية التوزيع

الطبيعي للبواقي وأنها تمثل صدمات عشوائية (BruitBlancGaussien).

4- مرحلة التذبذب: بعدما تأكدنا من أن البواقي تمثل صدمات عشوائية (BruitBlanc)، نقوم الآن بعملية التنبؤ على مستويات التضخم، وذلك للسنة القادمة (2013)، وذلك اعتماداً على النموذج الأنسب الذي توصلنا إليه سابقاً (أنظر الملحق رقم (3-6)).

النموذج المختار سابقاً هو:

$$MA(2) : DDER_t = -0.47\varepsilon_{t-2}$$

وتعطي علاقة التنبؤ على النحو التالي:

$$DDER_{t+h} = -0.47\varepsilon_{t-2+h}$$

$$DDER_{t+1} = DDER_{2013} = -0.47\varepsilon_{t-2+1} = -0.47\varepsilon_{2011} = -0.47(2.58) = -1.21$$

$$DDER_t = DER_t - DER_{t-1} \quad \text{لدينا أيضاً:}$$

$$\Rightarrow DER_t = DDER_t + DER_{t-1}$$

$$\Rightarrow DER_{2013} = DDER_{2013} + DER_{2012}$$

$$\Rightarrow DER_{2013} = -1.21 + 4.69 = 3.48$$

$$DER_t = ER_t + ER_{t-1}$$

$$\Rightarrow ER_{2013} = DER_{2013} + ER_{2012} = 3.48 + 77.5519 = 81.0319$$

خاتمة:

لقد تطرقنا في هذه الدراسة إلى تطبيق منهجية بوكس-جينكيز، حيث قمنا أولاً بالدراسة الإحصائية للسلسلة الزمنية، معتمدين في هذه الدراسة على الطرق البيانية من جهة والطرق الإحصائية الأكثر دقة من جهة أخرى، بعدها قمنا بتطبيق المراحل الأساسية لبوكس-جينكيز فتعرفنا على أحسن نموذج، واعتماداً على هذا الأخير قمنا بعملية التنبؤ لأسعار الصرف لسنة 2013 ومن خلال النتائج المتوصل إليها فقد لاحظنا استقراراً نسبياً في سعر الصرف.

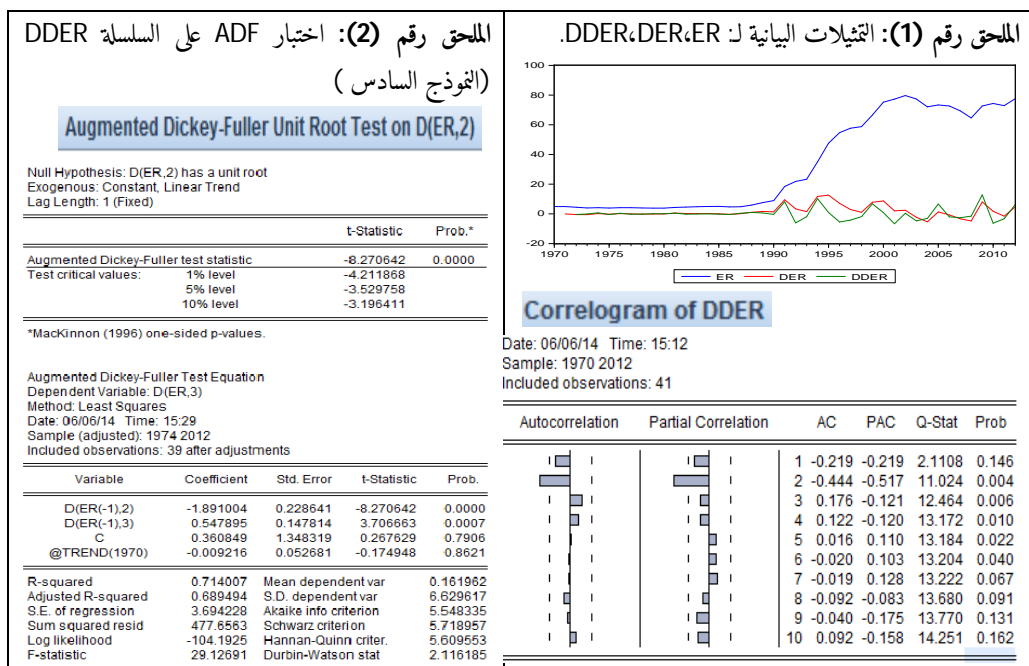
المراجع:

• عبید محمود محسن الزوبعي: "طريقة مقترحة لتشخيص نماذج السلاسل الزمنية"، المؤتمر الإحصائي العربي الأول، عمان، الأردن، 12-13- نوفمبر 2007.

• G. Gourigoux, Amonfort : «Série Temporelles Et Modèles Dynamique» 2^{ème} Edition ed ECONOMICA 1995, Paris.

- J. H. Cockrane: «Time Series For Macroeconomic and Finance» GraduateSchool of BUSINESS, University Of Chicago, 1997.
- Michel Tenenhaus: «MéthodesStatistiqueEnGestion», DUNOD, France 1994.
- Régis Bourbonnais: «Econométrie», 4^{ème} Ed DUNOD, Paris 2002.
- D.N. Gujarati: «BasicEconometric», 4th édition, McGraw-Hill/ Irwin-companiesInc New York, 2003.
- J. Johnston, J. Dinardo: «EconometricMethods», 4th edition, McGraw – Hill, New York, 1997.
- Sandrine Lardic, Valérie Mi-gnon: «EconométrieDeSérieTemporellesMacroéconomiquesEtFinancières», ECONOMICA, Paris 2002.

الملاحق:



الملحق رقم (4): اختبار ADF على السلسلة DDER (النموذج الرابع)

Augmented Dickey-Fuller Unit Root Test on D(ER,2)

Null Hypothesis: D(ER,2) has a unit root
Exogenous: None
Lag Length: 1 (Fixed)

	t-Statistic	Prob.*
Augmented Dickey-Fuller test statistic	-8.496789	0.0000
Test critical values:		
1% level	-2.625606	
5% level	-1.949609	
10% level	-1.611593	

*MacKinnon (1996) one-sided p-values.

Augmented Dickey-Fuller Test Equation
Dependent Variable: D(ER,3)
Method: Least Squares
Date: 06/06/14 Time: 15:47
Sample (adjusted): 1974 2012
Included observations: 39 after adjustments

Variable	Coefficient	Std. Error	t-Statistic	Prob.
D(ER(-1),2)	-1.888315	0.222239	-8.496789	0.0000
D(ER(-1),3)	0.546692	0.143874	3.799807	0.0005
R-squared	0.713240	Mean dependent var	0.161962	
Adjusted R-squared	0.705489	S.D. dependent var	6.629617	
S.E. of regression	3.597816	Akaike info criterion	5.448451	
Sum squared resid	478.9383	Schwarz criterion	5.533762	
Log likelihood	-104.2448	Hannan-Quinn criter.	5.479060	
Durbin-Watson stat	2.113048			

الملحق رقم (3): اختبار ADF على السلسلة DDER (النموذج الخامس)

Augmented Dickey-Fuller Unit Root Test on D(ER,2)

Null Hypothesis: D(ER,2) has a unit root
Exogenous: Constant
Lag Length: 1 (Fixed)

	t-Statistic	Prob.*
Augmented Dickey-Fuller test statistic	-8.389567	0.0000
Test critical values:		
1% level	-3.610453	
5% level	-2.938987	
10% level	-2.607932	

*MacKinnon (1996) one-sided p-values.

Augmented Dickey-Fuller Test Equation
Dependent Variable: D(ER,3)
Method: Least Squares
Date: 06/06/14 Time: 15:43
Sample (adjusted): 1974 2012
Included observations: 39 after adjustments

Variable	Coefficient	Std. Error	t-Statistic	Prob.
D(ER(-1),2)	-1.888509	0.225102	-8.389567	0.0000
D(ER(-1),3)	0.547060	0.145734	3.753830	0.0006
C	0.148881	0.583573	0.255120	0.8001
R-squared	0.713757	Mean dependent var	0.161962	
Adjusted R-squared	0.697855	S.D. dependent var	6.629617	
S.E. of regression	3.644151	Akaike info criterion	5.497927	
Sum squared resid	478.0740	Schwarz criterion	5.625893	
Log likelihood	-104.2096	Hannan-Quinn criter.	5.543840	
F-statistic	44.88367	Durbin-Watson stat	2.117293	
Prob(F-statistic)	0.000000			

الملحق رقم (2-5): نتائج تقدير الانحدار الذاتي من الدرجة الثانية.

Dependent Variable: DDER
Method: Least Squares
Date: 06/06/14 Time: 14:14
Sample (adjusted): 1974 2012
Included observations: 39 after adjustments
Convergence achieved after 3 iterations

Variable	Coefficient	Std. Error	t-Statistic	Prob.
AR(2)	-0.476931	0.149401	-3.192297	0.0028
R-squared	0.210682	Mean dependent var	0.133774	
Adjusted R-squared	0.210682	S.D. dependent var	4.294207	
S.E. of regression	3.815127	Akaike info criterion	5.541132	
Sum squared resid	553.0975	Schwarz criterion	5.583787	
Log likelihood	-107.0521	Hannan-Quinn criter.	5.566436	
Durbin-Watson stat	2.677491			

الملحق رقم (1-5): نتائج تقدير المتوسط المتحرك من الدرجة الثانية.

Dependent Variable: DDER
Method: Least Squares
Date: 06/11/14 Time: 20:36
Sample (adjusted): 1972 2012
Included observations: 41 after adjustments
Convergence achieved after 2 iterations
MA Backcast: 1970 1971

Variable	Coefficient	Std. Error	t-Statistic	Prob.
MA(2)	-0.471151	0.034781	-13.54606	0.0000
R-squared	0.201727	Mean dependent var	0.115178	
Adjusted R-squared	0.201727	S.D. dependent var	4.186454	
S.E. of regression	3.740434	Akaike info criterion	5.500368	
Sum squared resid	559.6340	Schwarz criterion	5.542163	
Log likelihood	-111.7576	Hannan-Quinn criter.	5.515588	
Durbin-Watson stat	2.653799			
Inverted MA Roots	.69	-.69		

الملحق رقم (2-6): التمثيل البياني لبواقي النموذج الأنسب.

Correlogram of Residuals Squared

Date: 06/06/14 Time: 16:27
Sample: 1972 2012
Included observations: 41
Q-statistic probabilities adjusted for 1 ARMA term(s)

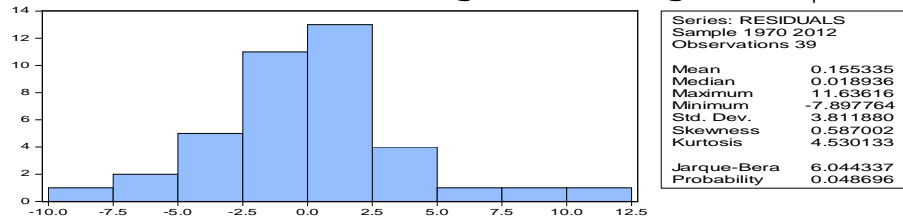
Autocorrelation	Partial Correlation	AC	PAC	Q-Stat	Prob
1	0.238	0.238	2.4943		
2	-0.019	-0.060	2.5112	0.113	
3	0.047	-0.078	2.6139	0.271	
4	0.005	-0.029	2.6151	0.455	
5	0.014	0.028	2.6241	0.623	
6	0.131	0.126	3.4850	0.626	
7	0.024	-0.041	3.5155	0.742	
8	0.004	0.024	3.5162	0.824	
9	-0.017	-0.042	3.5329	0.897	
10	0.041	0.065	3.6293	0.934	
11	0.006	-0.028	3.6315	0.962	
12	0.041	0.043	3.7355	0.977	
13	-0.081	-0.118	4.1516	0.981	
14	-0.074	-0.021	4.5123	0.984	
15	0.129	0.163	5.6416	0.975	
16	-0.027	-0.131	5.6929	0.984	
17	0.049	0.141	5.8687	0.989	
18	0.248	0.182	10.590	0.977	
19	-0.011	-0.105	10.599	0.911	
20	-0.101	-0.045	11.454	0.908	

الملحق رقم (3-5): نتائج تقدير الانحدار الذاتي-المتوسط المتحرك من الدرجة (2، 2).

Dependent Variable: DDER
Method: Least Squares
Date: 06/06/14 Time: 14:14
Sample (adjusted): 1974 2012
Included observations: 39 after adjustments
Convergence achieved after 11 iterations
MA Backcast: 1972 1973

Variable	Coefficient	Std. Error	t-Statistic	Prob.
AR(2)	-0.369623	0.157313	-2.349608	0.0242
MA(2)	-0.128786	0.002003	-64.29415	0.0000
R-squared	0.212709	Mean dependent var	0.133774	
Adjusted R-squared	0.191431	S.D. dependent var	4.294207	
S.E. of regression	3.861370	Akaike info criterion	5.589842	
Sum squared resid	551.6766	Schwarz criterion	5.675152	
Log likelihood	-107.0019	Hannan-Quinn criter.	5.620450	
Durbin-Watson stat	2.685482			
Inverted MA Roots	.36	-.36		

الملحق رقم (6-2): المدرج التكراري للبواقي النموذج الأنسب.



الملحق رقم (6-3): بواقي النموذج الأنسب.

